

บทที่ ๓

วิธีการวิจัย

ขั้นตอนของการศึกษาประกอบด้วย

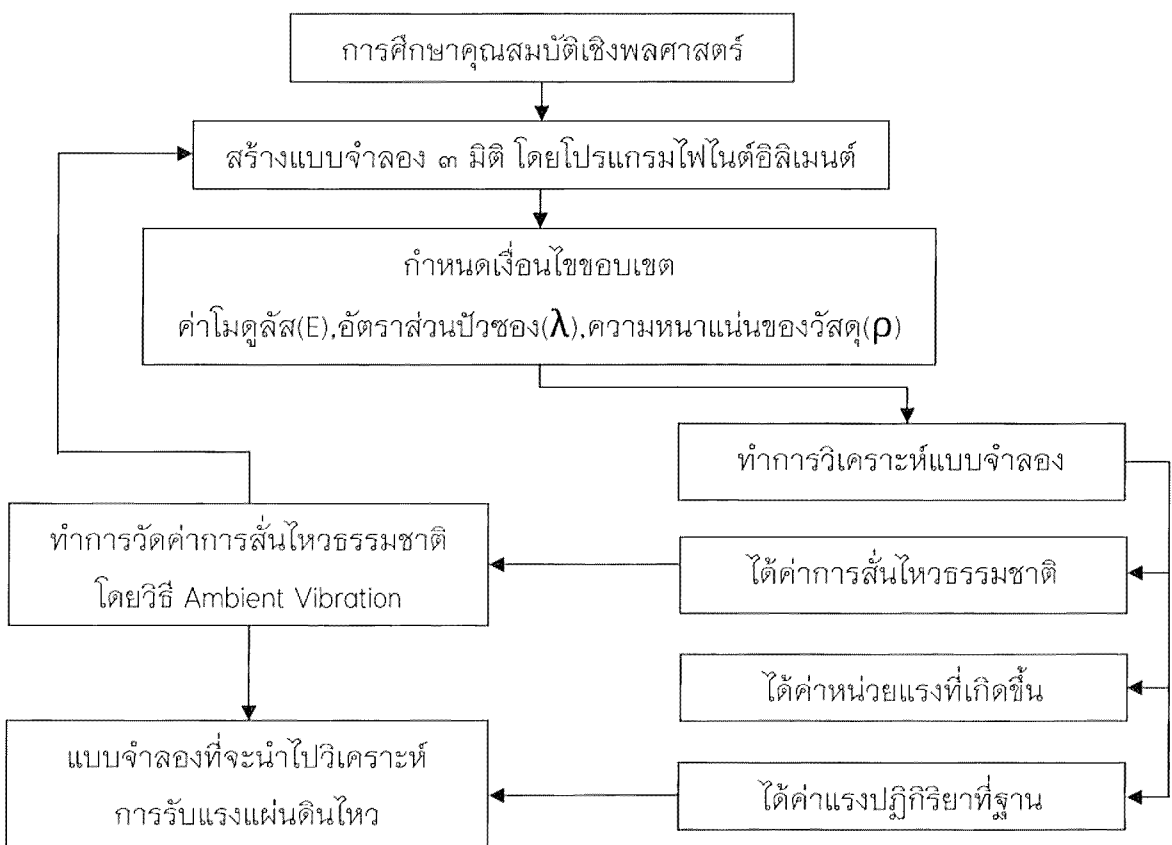
ส่วนที่ ๑. การศึกษารูปทรง และการจัดกลุ่ม

ส่วนที่ ๒. การศึกษาพฤติกรรมการรับแรงแผ่นดินไหว ซึ่งได้คัดเลือกเจดีย์พระธาตุดอยสุเทพเป็นกรณีศึกษา โดยมีขั้นตอนประกอบด้วย

๑. การศึกษาคุณสมบัติเชิงพลศาสตร์ (รูปที่ ๓.๑)

๑.๑ การศึกษาคุณสมบัติโดยการวิเคราะห์ไฟไนต์อิลิเมนต์

๑.๒ การศึกษาโดยการวัดโดยวิธี Ambient Vibration



รูป ๓.๑ แผนผังแสดงขั้นตอนการศึกษาสมบัติเชิงพลศาสตร์

๒. การวิเคราะห์การรับแรงแผ่นดินไหว (รูปที่ ๓.๒)

๒.๑ การคัดเลือกคลื่นแผ่นดินไหว

๒.๒ การวิเคราะห์โดยไฟโนต์อิลิเมนต์เชิงเส้น

๒.๓ ทำการเสริมกำลังองค์เจตียแล้วทำการวิเคราะห์

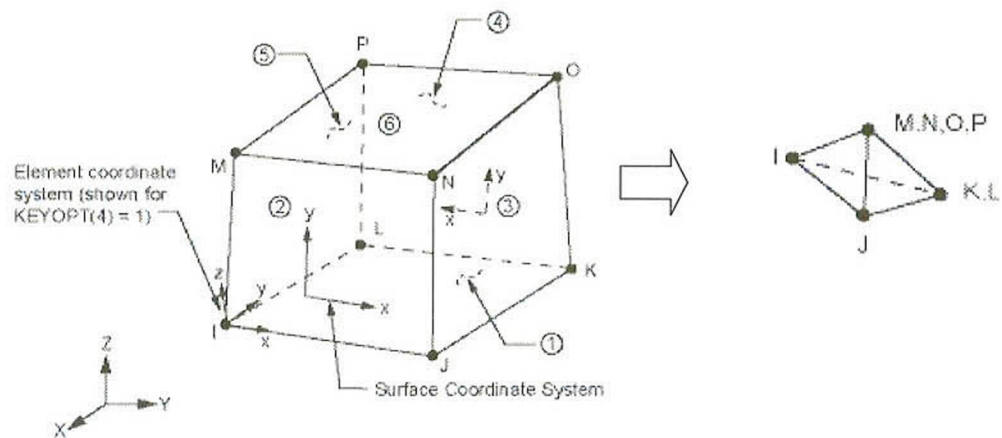


รูป ๓.๒ แผนผังแสดงขั้นตอนการวิเคราะห์การรับแรงแผ่นดินไหว

๓. การศึกษาคุณสมบัติเชิงพลศาสตร์

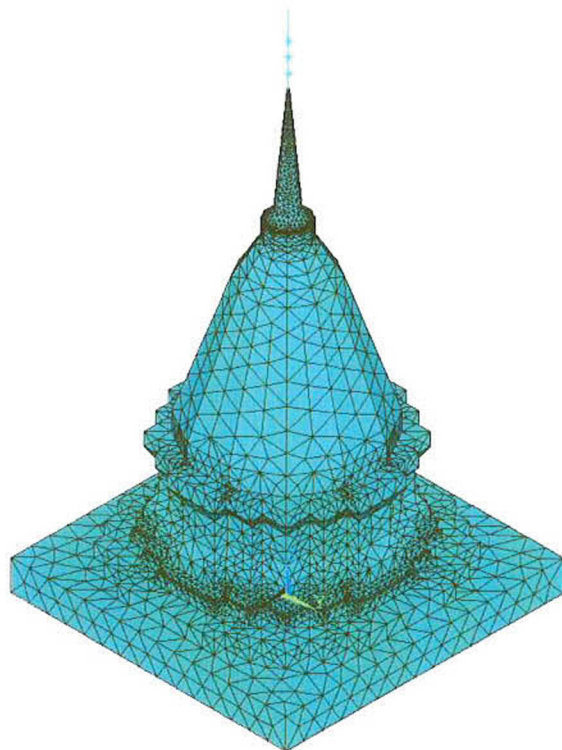
๓.๑ การศึกษาโดยการวิเคราะห์ไฟโนต์อิลิเมนต์

เจตียดอยสุเทพเป็นเจตียทรงระวาง ซึ่งมีพื้นที่ฐานเป็นรูปสี่เหลี่ยมจัตุรัส กว้างต้านละ ๑๐.๒๕ เมตร ความสูงขององค์เจตียทั้งหมดตั้งแต่ฐานถึงยอดฉัตร ๒๒.๓๗ เมตร ฐานขององค์ระวางเป็นรูป ๑๙ เหลี่ยมน้ำหนักที่ใช้ติดจากรูปทรงขององค์เจตียคุณกับหน่วยน้ำหนัก มีน้ำหนักเท่ากับ ๑๓.๑๘ ตัน การวิเคราะห์จะเป็นแบบเชิงเส้น ไม่คำนึงถึงรอยแตกที่มีอยู่ สมมุติให้องค์เจตียอยู่ในสภาพสมบูรณ์ ที่ฐานขององค์เจตียให้มีการยึดรั้งเป็นแบบ hinge support โดย Ux, Uy, Uz เท่ากับศูนย์



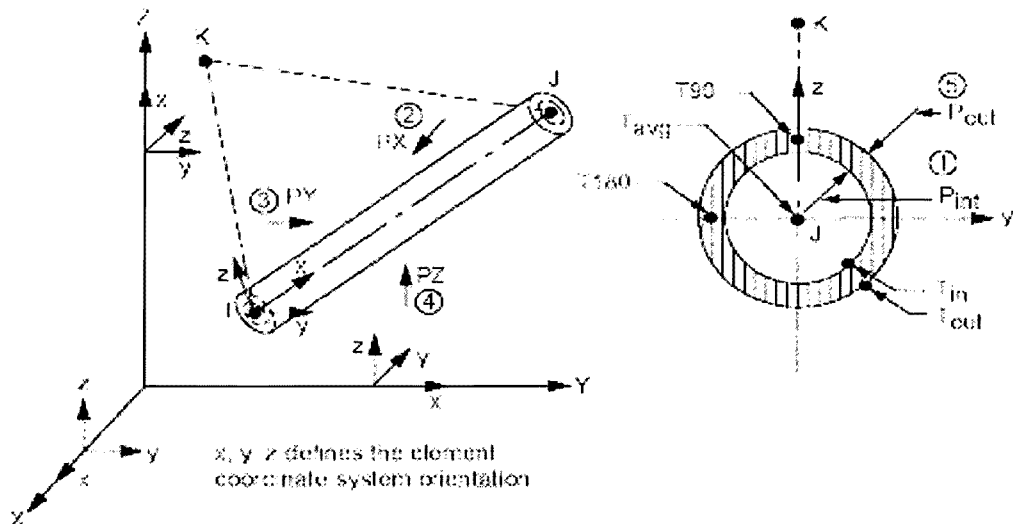
รูป ๓.๓ Solid element (ANSYS๑๓, ๒๐๑๐)

แบบจำลองไฟไนต์อิลิเมนต์ในรูป ๓ มิติ จำลองในส่วนของเจดีเย็ตต์ด้านที่เป็นรูปแบบทางสถาปัตยกรรมออก เลือกใช้อิลิเมนต์แบบ Solid Element ในแต่ละอิลิเมนต์ประกอบไปด้วย ๔ จุดต่อ รูปทรง Tetrahedral ดังในรูป ๓.๓ ในแต่ละจุดต่อมี ๓ ดีกรีอิสระ (Degree-of-freedom, DOF) คือ การเคลื่อนที่แบบเคลื่อน (Translation) ในทิศทาง x, y และ z แบบจำลองมีจำนวนชิ้นส่วน ๕๙,๕๐๖ ชิ้นส่วน โดยมีจำนวนจุดต่อทั้งหมด ๑๑,๗๓๐ จุดต่อ ดังในรูป ๓.๔



รูป ๓.๔ แบบจำลองไฟไนต์อิลิเมนต์เจดีเย็ตต์พระธาตุดอยสุเทพ

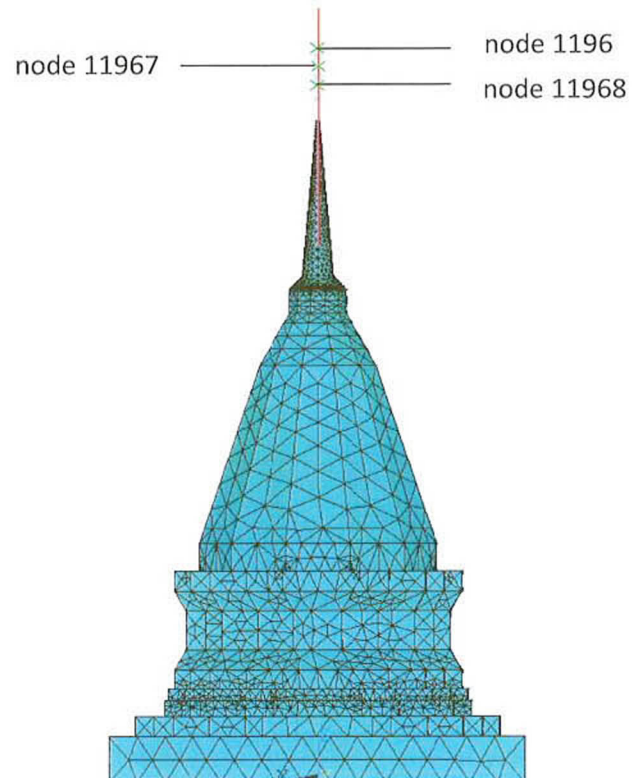
If node K is omitted, the element y-axis is parallel to the global X-Y plane



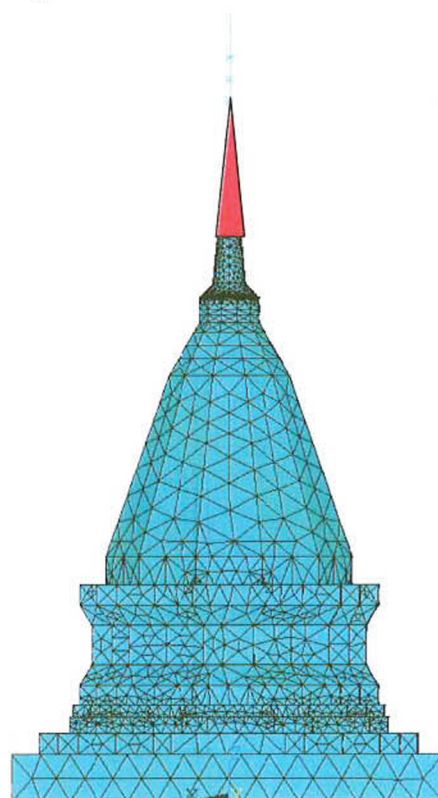
รูป ๓.๕ Pipe element (ANSYS๑๓, ๒๐๑๐)

ส่วนก้านฉัตรนี้จะเป็นเหล็กกลวงขนาดเส้นผ่านศูนย์กลาง ๓ นิ้ว ผังเข้าไปในยอดเจดีเย่ โดยจะใช้อิลิเมนต์แบบ Pipe Element ในแต่ละอิลิเมนต์ประกอบไปด้วย ๒ จุดต่อ ดังรูป ๓.๕ ส่วนฉัตรจำลอง lump mass ติดอยู่บนก้านฉัตร ที่ตำแหน่ง node ๑๗๙๘, ๑๗๙๙ และ ๑๗๙๖ โดยมีน้ำหนัก ๒๐, ๑๐ และ ๕ กิโลกรัม ตามลำดับ ดังแสดงในรูป ๓.๖ โดยรวมมีน้ำหนักฉัตรที่ ๓๕ กิโลกรัม

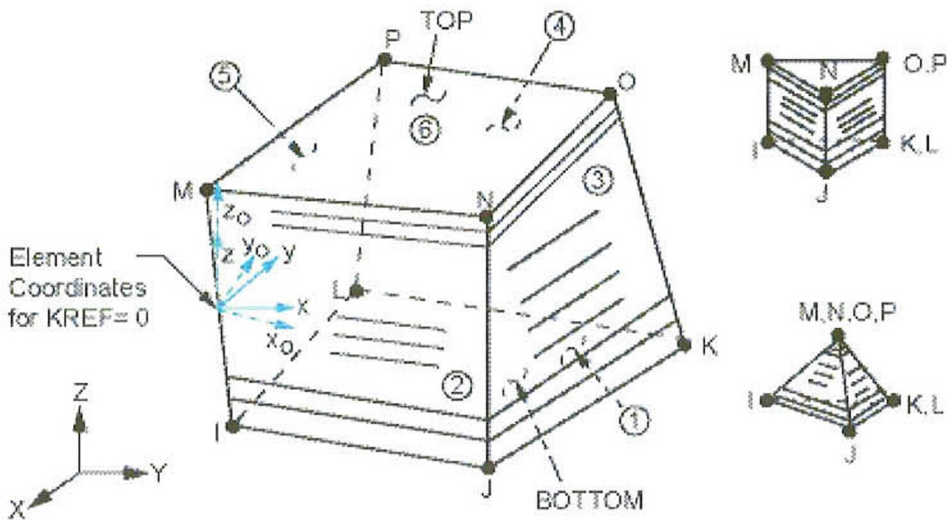
ส่วนแผ่นคาร์บอนไฟเบอร์(FRP) มีขนาดความหนา ๓ mm. เส้นใยมีการจัดเรียงกันใน ๒ ทิศทางตั้งฉากกัน โดยทำการพันรอบปล้องโดยดังรูป ๓.๗ ใช้อิลิเมนต์แบบ Solid Element ในแต่ละอิลิเมนต์ประกอบไปด้วย ๘ จุดต่อ คล้าย Solid Element ขององค์เจดีเย่แต่จะต่างกันที่ใน Solid Element จะมีการแบ่งเป็นชั้นๆดังรูป ๓.๘



รูป ๓.๖ ตัว骸งมวลที่ก้านมัตติ



รูป ๓.๗ ตัว骸งการเสริมกำลังด้วยแผ่นคาร์บอนไฟเบอร์



รูป ๓.๔ Solid element (ANSYS๓, ๒๐๑๐)

คุณสมบัติของวัสดุ

โดยทั่วไปโครงสร้างเดี๋ย厮่วนมากใช้อิฐเป็นวัสดุหลักในการก่อสร้าง ในการศึกษานี้ได้ตั้งสมมุติฐานว่าวัสดุถูกออยู่ในสภาพสมบูรณ์ คุณสมบัติของบล็อกอิฐก่อที่ใช้ในการวิเคราะห์ได้จากการทดสอบบล็อกอิฐในจังหวัดเชียงใหม่ (สุราษฎร์, ๒๕๔๔) ดังนี้

- ค่าโมดูลัสยืดหยุ่นเท่ากับ ๑,๐๐๐ เมกะปาสกาล
- ค่าอัตราส่วนปัวซองเท่ากับ ๐.๑๕
- มวลต่อปริมาตรเท่ากับ ๑,๘๐๐ กก/ลบ.ม.
- กำลังอัดประดับเท่ากับ ๒.๙๘ เมกะปาสกาล
- กำลังดึงประดับเท่ากับ ๐.๖๗ เมกะปาสกาล (ติดเป็นร้อยละ ๑๐ ของกำลังอัดประดับ)

คุณสมบัติของเหล็กมีค่าดังนี้

- ค่าโมดูลัสยืดหยุ่นเท่ากับ ๒๐๐ จิกะปาสกาล
- ค่าอัตราส่วนปัวซองเท่ากับ ๐.๓๐
- มวลต่อปริมาตรเท่ากับ ๗,๘๕๐ กก/ลบ.ม.
- กำลังดึงประดับเท่ากับ ๒๓๕.๔๔ เมกะปาสกาล

คุณสมบัติของแผ่นคาร์บอนไฟเบอร์ (มยพ. ๑๕๐๘-๕๑) มีค่าดังนี้

- ค่าโมดูลัสยืดหยุ่นเท่ากับ ๖๓.๙ จิกะปาสกาล

- ค่าอัตราส่วนปัจจองเท่ากับ ๐.๒๗
- มาตรต่อปริมาตรเท่ากับ ๑,๔๐๐ กก/ลบ.ม.
- กำลังดึงประดับเท่ากับ ๖๔๑.๒ เมกะปาสกาล

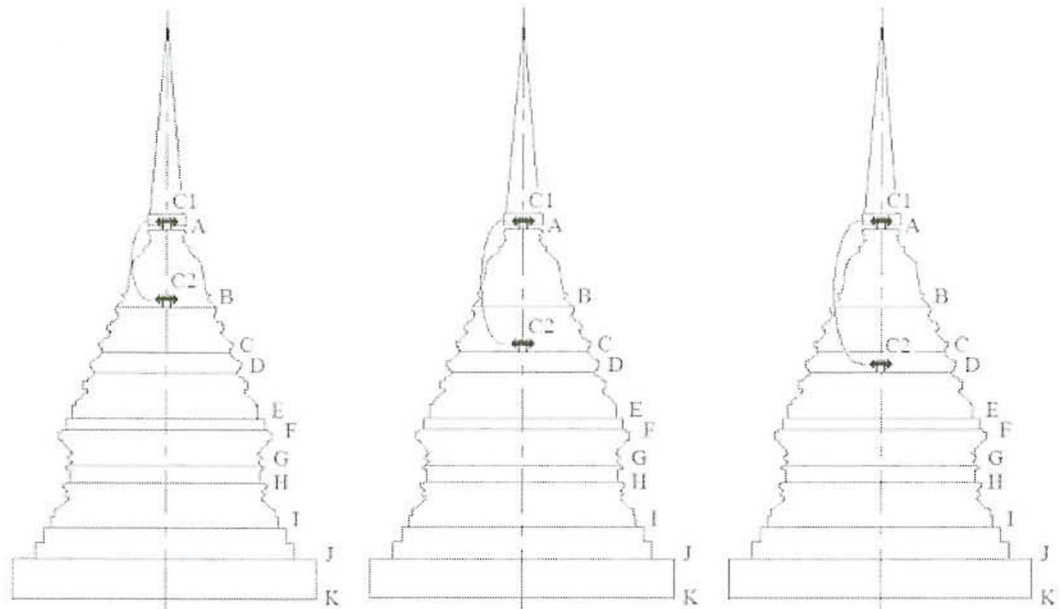
๓.๑.๒ การตรวจวัดด้วยวิธี Ambient Vibration

๓.๑.๒.๑ การตรวจวัดความถี่ธรรมชาติ (Natural Frequency)

สำหรับการตรวจวัดได้กราฟทำการเขียนเสียงกันกับ กรณีอาคารที่แบ่งความสูงเป็นระดับชั้น เครื่องมือที่ใช้ตรวจวัดการสั่นไหวจะติดตั้งที่ชั้นบนสุดของโครงสร้าง ในการตรวจวัดองค์เจตีร์ ได้ติดไว้ที่ระดับความสูง A ดังรูป ๓.๙ ลัญญาณความเร่งที่วัดได้จะอยู่ในรูปของความเร่งเทียบ กับเวลาเวลา (time domain) และทำการปรับสัญญาณเบื้องต้น เช่น การปรับค่าเฉลี่ยของ สัญญาณให้เป็นศูนย์ การเพิ่มความยาวของข้อมูลตัวอย่างศูนย์ เพื่อให้เหมาะสมกับการแปลง สัญญาณในชั้นตอนต่อไป หลังจากนั้นสัญญาณในรูปของ Time Domain จะถูกแปลงเป็น Frequency Domain โดยวิธี Fourier Transform การหาค่าความถี่ธรรมชาติพิจารณาที่จุดยอด ของกราฟฟูเรียร์แอมพลิจูด (Fourier Amplitude)

๓.๑.๒.๒ การตรวจวัดรูปแบบการสั่นไหวธรรมชาติ (Vibration Mode Shape)

การตรวจวัดรูปแบบการสั่นไหวธรรมชาติ (Vibration Mode Shape) สำหรับอาคารจะมี การวางแผนหัววัดเพิ่มถัดลงมาตามระดับชั้นต่างๆ สำหรับองค์เจตีร์ตำแหน่งที่ทำการวัดคือ ตำแหน่ง “B” ไล่ลงมาจนถึงตำแหน่ง “K” ดังรูป ๓.๙ โดย วางหัววัดชุดที่ ๑ ที่ตำแหน่ง “A” และวางหัววัดชุดที่ ๒ ที่ตำแหน่ง “B” จากนั้นทำการบันทึกสัญญาณ แล้วย้ายหัววัดชุดที่ ๒ ลง มากยังระดับล่างที่ตำแหน่ง “C” จนถึงระดับล่างสุดคือตำแหน่ง “K” เพื่อเป็นการหารูปแบบการ สั่นไหวของอาคารในลักษณะการเคลื่อนที่ (Translation) โดยพิจารณาจากขนาดและทิศทางการ เคลื่อนที่ระหว่างหัววัด หรือความต่างเฟส ของ Fourier Magnitude ที่คำนวณได้จากข้อมูลที่ ตรวจวัด ขนาดของ Fourier Magnitude จะมีขนาดสูงกว่าในกรณีที่เป็นทิศทางการเคลื่อนที่หลัก ของความถี่นั้น



รูป ๓.๘ ตำแหน่งการวางหัววัดสำหรับการตรวจวัดการสั่นไหวchromatic

ตาราง ๓.๑ ระดับความสูง (H) และเส้นผ่านศูนย์กลาง (D) ของเจติย์ในตำแหน่งที่ทำการตรวจวัด

ตำแหน่ง	ระดับความสูง (H) เมตร	เส้นผ่านศูนย์กลาง (D) เมตร
A	๑๔.๖๖	๑.๗๙
B	๑๑.๗๕	๔.๐๕
C	๙.๗๒	๔.๑๖
D	๗.๗๓	๔.๗๒
E	๓/๑๔	๓/๗๓
F	๖.๗๐	๖.๒๐
G	๔.๗๖	๓/๗๓
H	๔.๖๖	๓/๗๓
I	๒.๖๖	๙.๖๒
J	๑.๖๐	๑๒.๑๐
K	๐.๐๐	๑๒.๑๐



๓.๒ การวิเคราะห์การรับแรงแผ่นดินไหว

๓.๒.๑ การหาค่าสี่เหลี่ยมแผ่นดินไหว

การหาค่าสี่เหลี่ยมแผ่นดินไหวที่คาดว่าอาจจะเกิดขึ้นได้ในพื้นที่จังหวัดเชียงใหม่ โดยการพิจารณาจากค่าสี่เหลี่ยมแผ่นดินไหวที่เคยเกิดขึ้นแล้วในอดีตทั้งนี้แผ่นดินไหวที่เลือก จะแบ่งออกเป็น ๓ รูปแบบดังนี้ ๑. เกิดแผ่นดินไหวขึ้นในระยะใกล้ โดยเกิดขึ้นบริเวณพื้นที่ที่ทำการวิเคราะห์ไม่เกิน ๑๐ กิโลเมตร ซึ่งไม่สูง جداและมีประวัติการเกิดแผ่นดินไหวหรือมีรอยเลื่อนหรือไม่ ๒. แผ่นดินไหวเกิดจากการอยู่เลื่อนที่มีประวัติการเกิดแผ่นดินไหว ที่มีระยะใกล้กับพื้นที่ที่ทำการวิเคราะห์ที่สุด และ ๓. แผ่นดินไหวที่มีขนาดแรงมากที่สุด ที่เกิดจากการอยู่เลื่อนบริเวณทำการวิเคราะห์ โดยมีขั้นตอนหาค่าสี่เหลี่ยมแผ่นดินไหวดังนี้

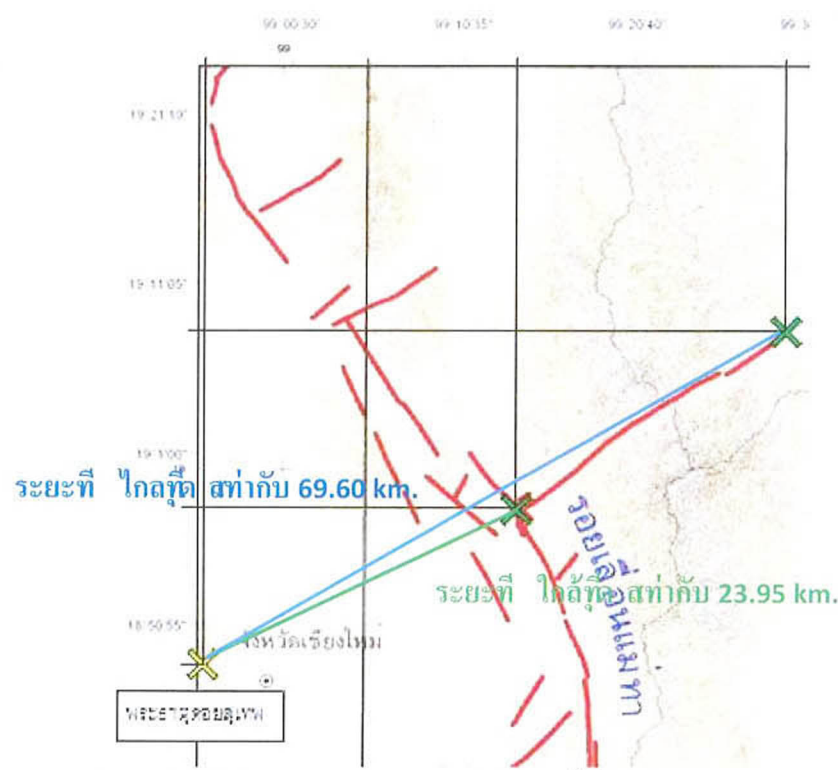
๑. ทำการหาพิกัดของจุดที่ต้องการศึกษาในที่นี้คือ พระธาตุดอยสุเทพ โดยอยู่ในพิกัดที่

ละติจูด ๑๙°๐๔'๑๗"N ลองจิจูด ๙๘°๕๔'๑๔"E

๒. เลือกรอยเลื่อนที่ใช้ในการวิเคราะห์จาก

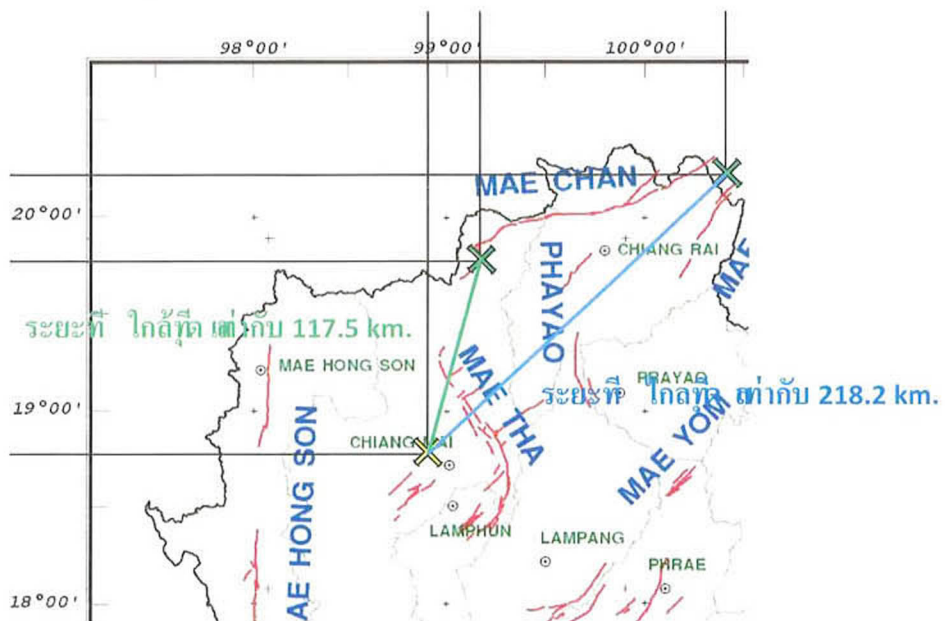
๒.๑ รอยเลื่อนที่ใกล้ที่สุดมีระยะทางระหว่างตำแหน่งของพระธาตุดอยสุเทพกับรอยเลื่อนที่คาดว่าจะเป็นแหล่งกำเนิดแผ่นดินไหว ในการศึกษานี้เลือกใช้รอยเลื่อนแม่ทา

ดังรูป ๓.๑๐



รูป ๓.๑๐ ตำแหน่งเจติย์พระธาตุดอยสุเทพถึงรอยเลื่อนแม่ทา (<http://www.dmr.go.th>)

๒.๒ ร้อยเลื่อนที่รุนแรงที่สุดที่อยู่ในเขตภาคเหนือตอนบน ในการศึกษานี้เลือกใช้
ร้อยเลื่อนแม่จัน ดังรูป ๓.๑๑



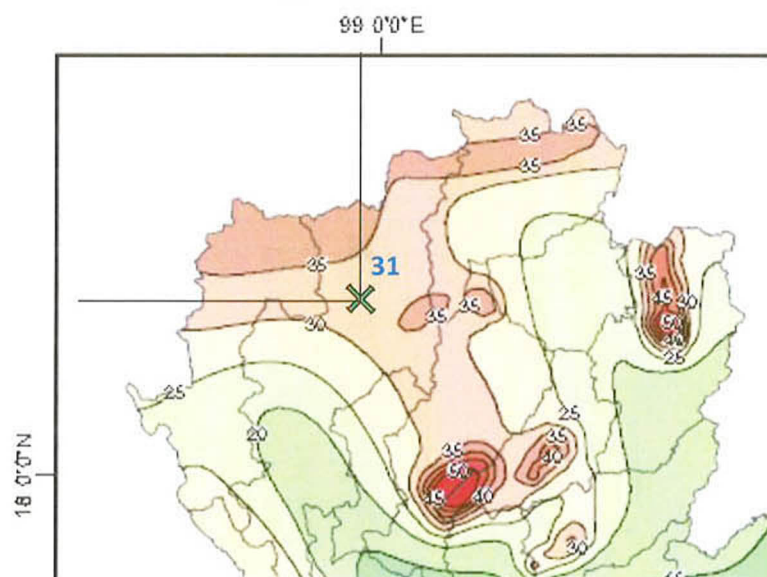
รูป ๓.๑๑ ตำแหน่งเจดีย์พระธาตุดอยสุเทพถึงร้อยเลื่อนแม่จัน (<http://www.dmr.go.th>)
จากทั้ง ๒ กรนีตำแหน่งของร้อยเลื่อนและระยะทางระหว่างเจดีย์พระธาตุดอยสุเทพถึง
ร้อยเลื่อน แสดงในตาราง ๓.๒

ตาราง ๓.๒ ระยะทางระหว่างเจดีย์พระธาตุดอยสุเทพถึงร้อยเลื่อน

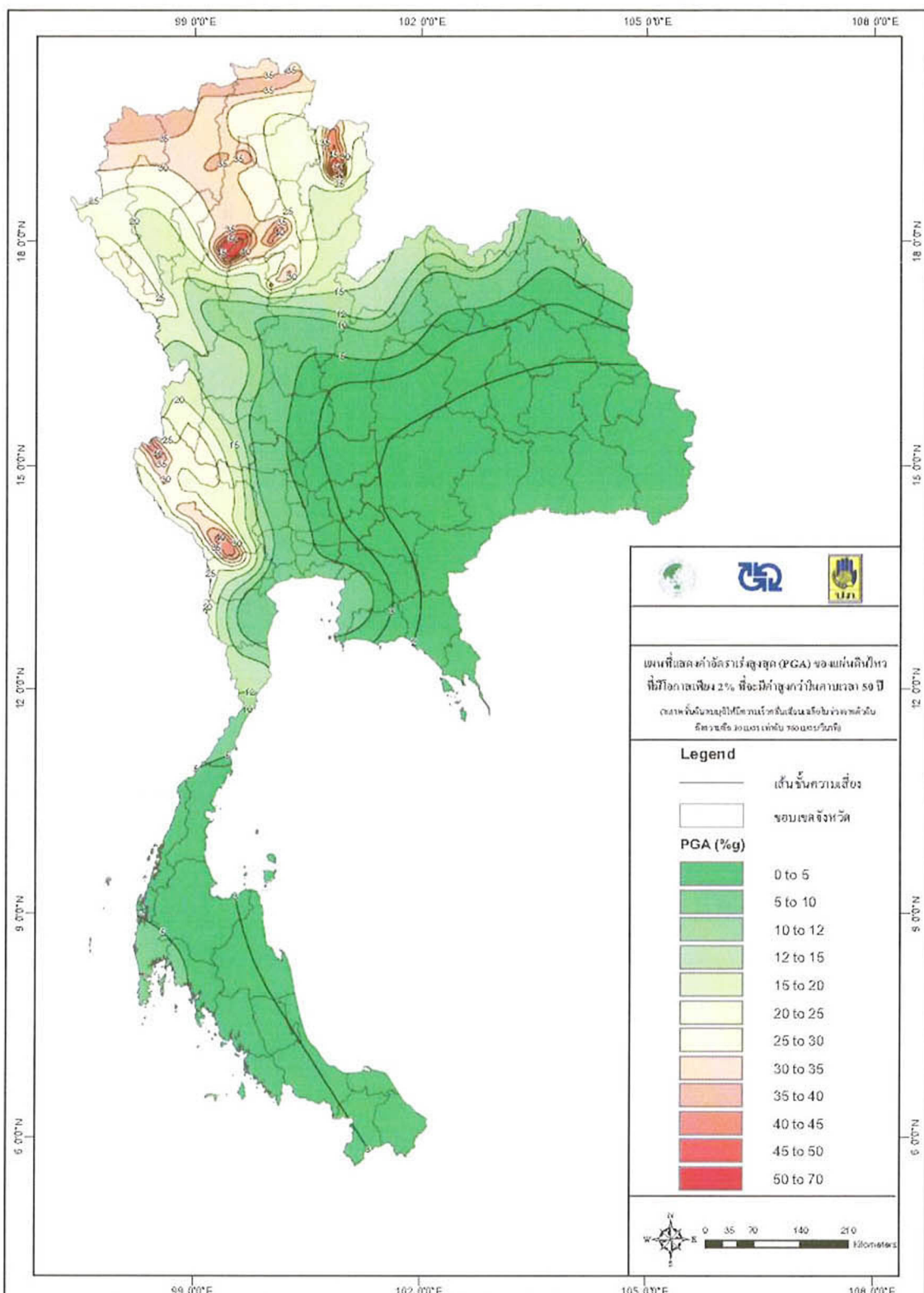
สถานที่	พิกัด		ระยะทาง (km.)
	ละติจูด (N)	ลองจิจูด (E)	
เจดีย์พระธาตุดอยสุเทพ	๗๙° ๔๘' ๓๗"	๙๘° ๕๕' ๑๔"	-
ร้อยเลื่อนแม่ทา (ใกล้ที่สุด)	๗๙° ๔๘' ๓๗"	๙๘° ๓๑' ๔๕"	๒๓.๗๕
ร้อยเลื่อนแม่ทา (ใกล้ที่สุด)	๗๙° ๐๘' ๓๗"	๙๘° ๒๒' ๔๐"	๖๙.๖๐
ร้อยเลื่อนแม่จัน (ใกล้ที่สุด)	๗๙° ๔๐' ๓๗"	๙๘° ๐๓' ๔๕"	๑๑๗.๕
ร้อยเลื่อนแม่จัน (ใกล้ที่สุด)	๒๐° ๑๗' ๓๗"	๑๐๐° ๑๖' ๔๐"	๒๑๗.๑

๓. หาค่า PGA

โดยเลือกใช้แผนที่แสดงอัตราการเร่งพื้นดินสูงสุด (PGA) ที่มีโอกาสเกิดขึ้น ๒% ที่จะมีค่าสูงกว่าในครบ ๕๐ ปี สาเหตุที่เลือก ๒% เพราะเจตดีของสูตรเพเป็นสถานที่ที่สำคัญจึงต้องเลือกแผ่นดินไหวขนาดใหญ่ที่สุดที่จะเกิดได้มาทำการศึกษา จากรูป ๓.๑๒ และ ๓.๑๓ ได้ค่าอัตราการเร่งพื้นดินสูงสุด (PGA) เท่ากับ ๓๑% หรือ ๐.๓๑เท่าของความเร่งโน้มถ่วงของโลก



รูป ๓.๑๒ แผนที่ส่วนขยายบริเวณจังหวัดเชียงใหม่แสดงค่าอัตราเร่งสูงสุด (PGA) ของแผ่นดินไหวที่มีโอกาสเพียง ๒ % ที่จะมีค่าสูงกว่าในครบเวลา ๕๐ ปี (<http://www.dmr.go.th>)



รูป ๓.๑๓ แผนที่แสดงค่าอัตราเรื้อรังสูด (PGA) ของแผ่นดินไหวที่มีโอกาสเพียง ๒% ที่จะมีค่าสูงกว่าใน captions เวลา ๕๐ ปี (<http://www.dmr.go.th>)

๔. นำข้อมูลที่ได้มาไปหาค่าสัมบูรณ์ในวันที่คล้ายคลึงกันที่เคยเกิดขึ้นในอดีตในพื้นที่ต่างๆ โดยพิจารณาคัดกรองข้อมูลจากปัจจัยดังนี้

- ระยะทาง
- ขนาดแผ่นดินไหว
- ค่าอัตราเร่งสูงสุด PGA (รอยเลื่อนแม่จันจะทำการลดค่าอัตราเร่งสูงสุดจาก ๐.๓๑๐ เป็น ๐.๑๒๒๕ เนื่องจากการลดTHONของพลังงานที่เป็นผลมาจากการระเบิดที่มากขึ้น)

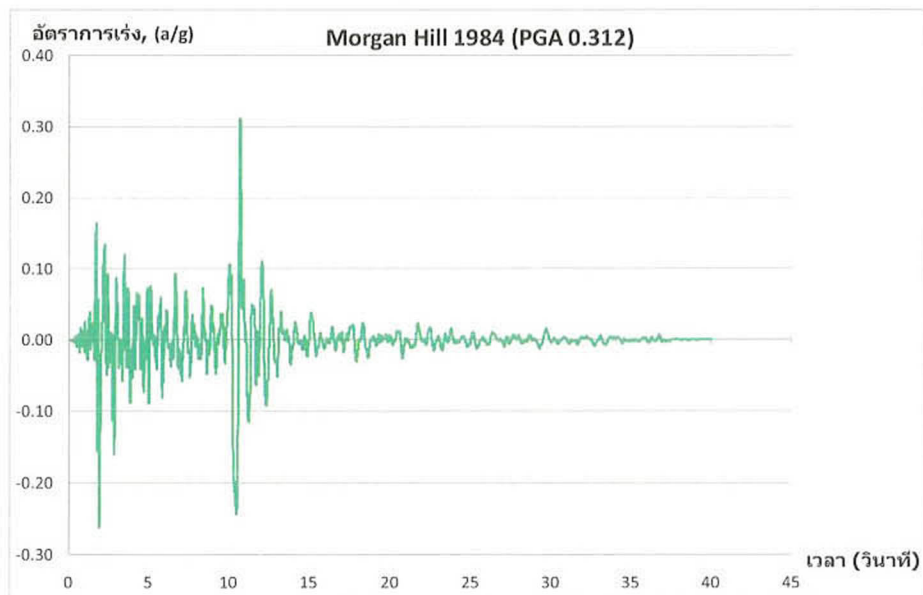
ตาราง ๓.๓ ข้อมูลที่นำไปหาค่าสัมบูรณ์ในวันที่คล้ายคลึง

รอยเลื่อน	ระยะทาง (กิโลเมตร)	ขนาดแผ่นดินไหว (ริกเตอร์)	ค่าอัตราเร่งสูงสุด (g)
แผ่นดินไหวเกิดในระยะใกล้	๐ - ๑๐	๙.๐ - ๙.๕	๐.๓๑๐
รอยเลื่อนแม่ท่า	๒๐ - ๓๐	๕.๐ - ๕.๕	๐.๓๑๐
รอยเลื่อนแม่จัน	๑๑๐ - ๒๒๐	๙.๕ - ๑๐.๕	๐.๑๒๕

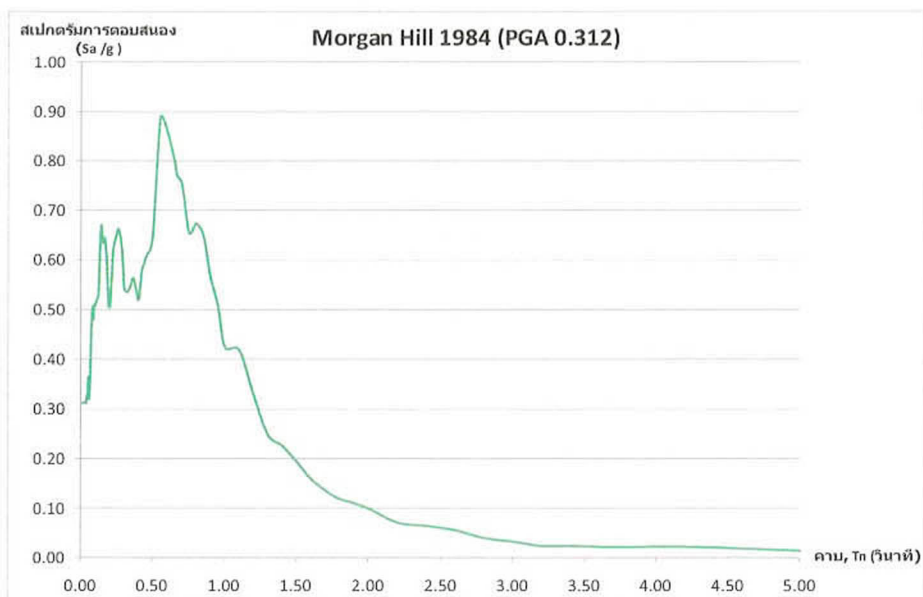
หมายเหตุ ขนาดแผ่นดินไหวมาจากข้อมูลแผ่นดินไหว (<http://www.seismology.tmd.go.th>) เมื่อนำข้อมูลจากตาราง ๓.๓ ไปหาค่าสัมบูรณ์จาก <http://peer.berkeley.edu/smcat/search.html> ซึ่งเป็นเวปไซต์ที่รวบรวมค่าสัมบูรณ์แผ่นดินไหว โดยเลือกค่าสัมบูรณ์ที่คล้ายคลึงจากการระเบิด ขนาดแผ่นดินไหว และค่าอัตราเร่ง ค่าสัมบูรณ์ที่ได้แสดงในตาราง ๓.๔ และรูปที่ ๓.๑๙-๓.๒๑

ตาราง ๓.๔ ค่าสัมบูรณ์แผ่นดินไหวที่คล้ายคลึงที่ใช้ในการศึกษา

รอยเลื่อน	ค่าสัมบูรณ์ที่ได้	ระยะทาง (กิโลเมตร)	ขนาด แผ่นดินไหว (ริกเตอร์)	ค่าอัตราเร่ง สูงสุด (g)
แผ่นดินไหวเกิดในระยะใกล้	Morgan Hill	๓.๔	๙.๙	๐.๓๑๒
รอยเลื่อนแม่ท่า	Imperial Valley	๒๓.๖	๙.๕	๐.๓๐๙
รอยเลื่อนแม่จัน	Kocaeli, Turkey	๑๓๘.๓	๙.๔	๐.๑๐๓

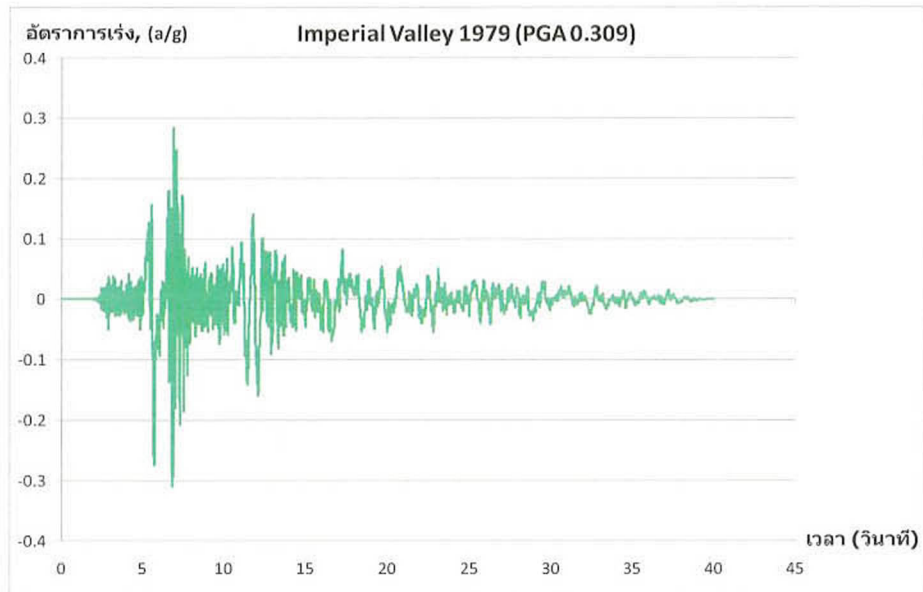


(ก) คลื่นอัตราเร่งของพื้นดิน (PGA ๐.๓๑๒)

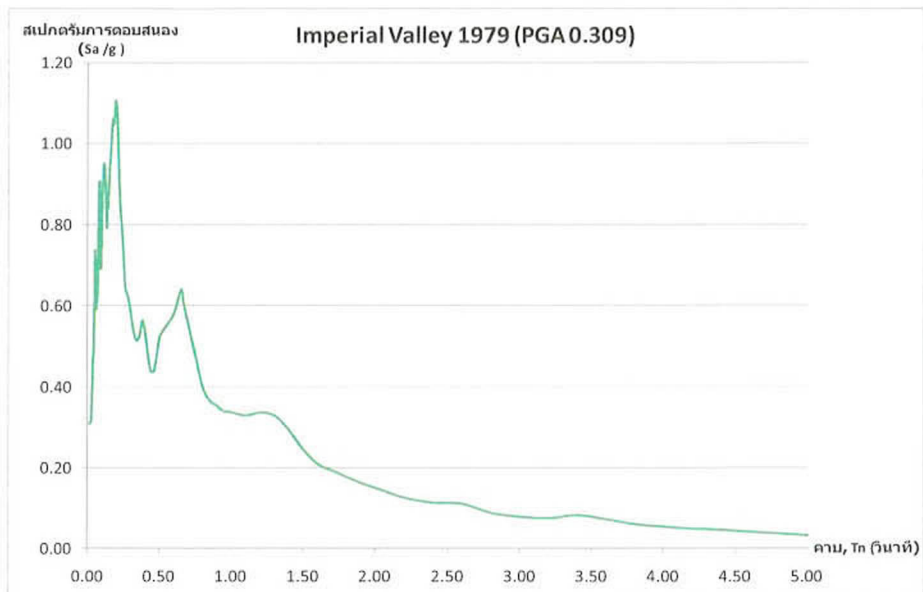


(ข) สเปกตรัมการตอบสนอง(damping ๕%)

รูป ๓.๑๔ คลื่นเหตุการณ์แผ่นดินไหว Morgan Hill 1984 กรณีแผ่นดินไหวเกิดในระยะใกล้



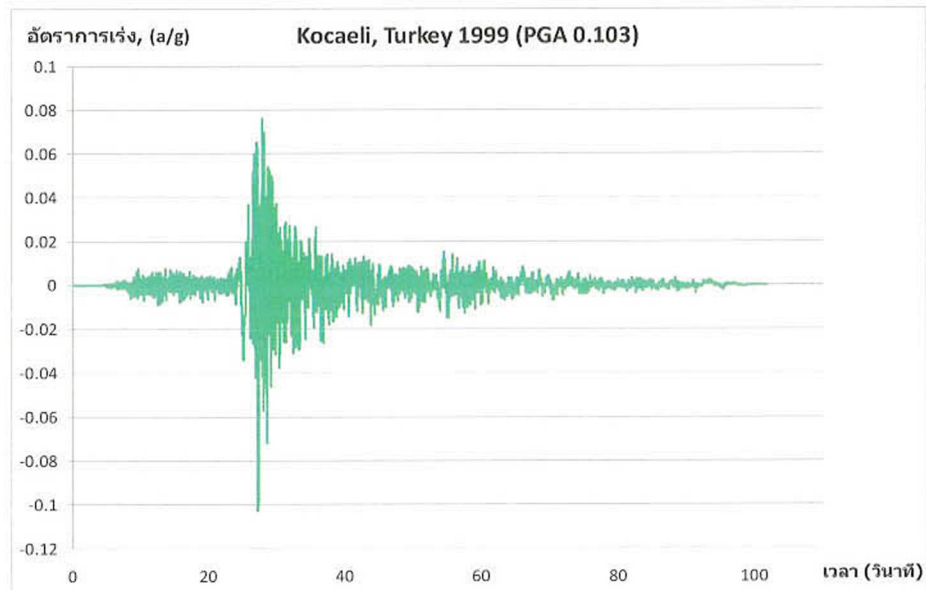
(ก) คลื่นอัตราเร่งของพื้นดิน (PGA 0.309)



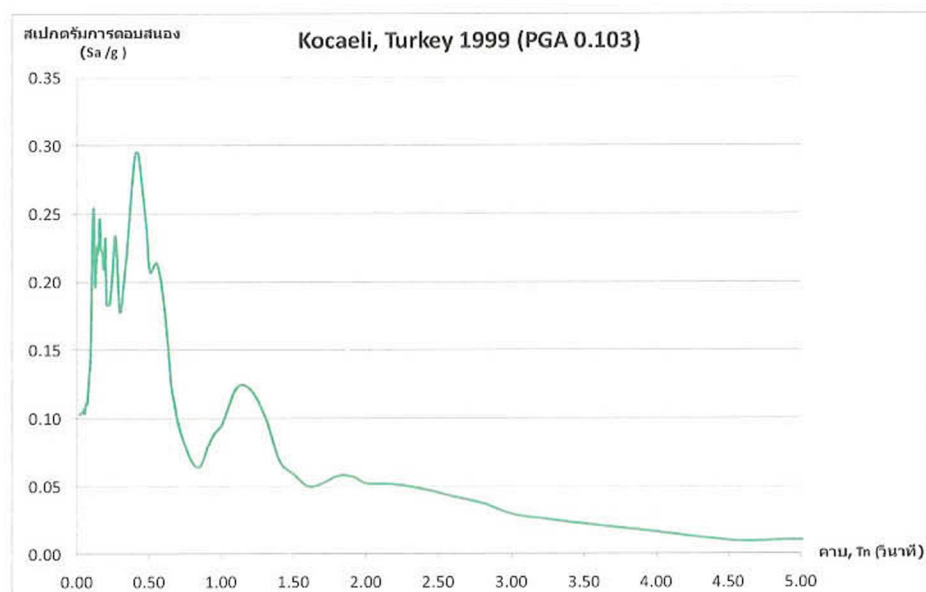
(ข) สเปกตรัมการตอบสนอง(damping ๕%)

รูป ๓.๑๕ คลื่นเหตุการณ์แผ่นดินไหว Imperial Valley 1979

กรณีแผ่นดินไหวจากรอบเฉียบแม่ท่า



(ก) คลื่นอัตราเร่งของพื้นดิน (PGA ๐.๑๐๓)



(ข) สเปกตรัมการตอบสนอง(damping ๕%)

รูป ๓.๑๑ คลื่นเหตุการณ์แผ่นดินไหว Kocaeli, Turkey 1999

กรณีแผ่นดินไหวจากกรอบเลื่อนแม่จัน

๔. สร้างสเปกตรัมการตอบสนองในพื้นที่วิเคราะห์จาก มาตรฐานกรมโยธาธิการและผังเมือง
(มยพ.๑๓๐๒)

๔.๑ หาค่าความเร่งเชิงสเปกตรัมที่คาบสั้นจาก มยพ.๑๓๐๒

- ค่าความเร่งเชิงสเปกตรัมที่คาบสั้น (S_s) = ๐.๘๗/๔ g

- ค่าความเร่งเชิงสเปกตรัมที่คาบ ๑ วินาที (S_v) = ๐.๙๔ g

๔.๒ โครงสร้างตั้งอยู่บนชั้นดินประเภท D

๔.๓ สร้างสเปกตรัมสำหรับการออกแบบแบบด้วยวิธีผลศาสตร์

ค่าสัมประสิทธิ์สำหรับชั้นดินที่ ณ ที่ตั้งอาคาร F_u และ F_v หากได้จากตาราง ๓.๕ และ
๓.๖ ตามลำดับ

ตาราง ๓.๕ ค่าสัมประสิทธิ์สำหรับชั้นดินที่ ณ ที่ตั้งอาคาร F_u

ประเภทของ ชั้นดิน	ค่าความเร่งตอบสนองเชิงสเปกตรัมของแผ่นดินให้วุ่นแรงสูงสุดที่พิจารณาที่ คาบ ๐.๒ วินาที (g)				
	$S_s \leq 0.15$	$S_s = 0.15$	$S_s = 0.3$	$S_s = 0.6$	$S_s \geq 0.9$
A	๐.๙	๐.๙	๐.๙	๐.๙	๐.๙
B	๑.๐	๑.๐	๑.๐	๑.๐	๑.๐
C	๑.๒	๑.๒	๑.๑	๑.๐	๑.๐
D	๑.๖	๑.๔	๑.๒	๑.๑	๑.๐
E	๒.๕	๑.๗	๑.๒	๐.๙	๐.๙
F	จำเป็นต้องทำการวิเคราะห์การตอบสนองของดินเป็นกรณีๆไป				

ตาราง ๓.๙ ค่าสัมประสิทธิ์สำหรับชั้นดินที่ ณ ที่ตั้งอาคาร F_V

ประเภทของ ชั้นดิน	ค่าความเร่งตอบสนองเชิงสเปกตรัมของแผ่นดินให้รุนแรงสูงสุดที่พิจารณาที่ คาบ ๑.๐ วินาที (g)				
	$S_s \leq 0.1$	$S_s = 0.1$	$S_s = 0.3$	$S_s = 0.5$	$S_s \geq 0.5$
A	๐.๗	๐.๗	๐.๗	๐.๗	๐.๗
B	๑.๐	๑.๐	๑.๐	๑.๐	๑.๐
C	๑.๗	๑.๖	๑.๕	๑.๔	๑.๓
D	๒.๔	๒.๐	๑.๘	๑.๖	๑.๔
E	๓.๕	๓.๒	๒.๘	๒.๕	๒.๔
F	จำเป็นต้องทำการวิเคราะห์การตอบสนองของดินเป็นกรณีๆไป				

- ค่าสัมประสิทธิ์สำหรับชั้นดิน ณ ที่ตั้งอาคารสำหรับคาบการสั่น ๐.๑ วินาที (F_a) = ๑.๑๕

- ค่าสัมประสิทธิ์สำหรับชั้นดิน ณ ที่ตั้งอาคารสำหรับคาบการสั่น ๑.๐ วินาที (F_a) = ๑.๙๐

ค่าความเร่งตอบสนองเชิงสเปกตรัมที่ปรับแก้แล้ว

$$S_{MS} = F_a S_S \quad \dots\dots\dots(๓.๑)$$

$$S_{MI} = F_V S_1 \quad \dots\dots\dots(๓.๒)$$

โดยที่

S_{MS} = ค่าความเร่งตอบสนองเชิงสเปกตรัมที่คาบการสั่น ๐.๑ วินาที ที่ถูกปรับแก้ เนื่องจากผลของชั้นดิน ณ ที่ตั้งอาคาร หน่วยเป็น ความเร่งจากแรงโน้มถ่วงโลก (g)

S_{MI} = ค่าความเร่งตอบสนองเชิงสเปกตรัมที่คาบการสั่น ๑.๐ วินาที ที่ถูกปรับแก้ เนื่องจากผลของชั้นดิน ณ ที่ตั้งอาคาร หน่วยเป็น ความเร่งจากแรงโน้มถ่วงโลก (g)

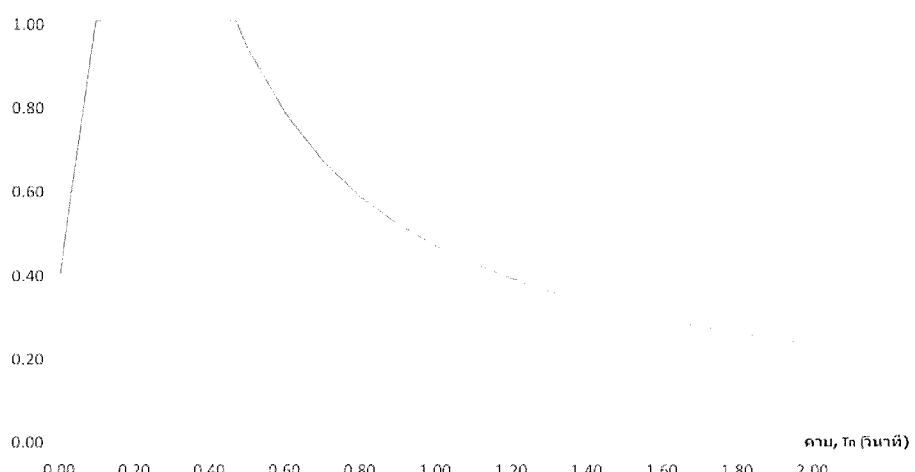
จากสมการ ๓.๑ และ ๓.๒ จะได้ค่า S_{MS} และ S_{M1} ดังนี้

$$S_{MS} = ๑.๐๐๙ \text{ g}$$

$$S_{M1} = ๐.๔๗๖ \text{ g}$$

๔.๕ ทำการสร้างกราฟสเปกตรัมการตอบสนองแบบใหม่จากค่าความเร่ง S_{MS} และ S_{M1} ดังแสดงในรูป ๓.๑๗

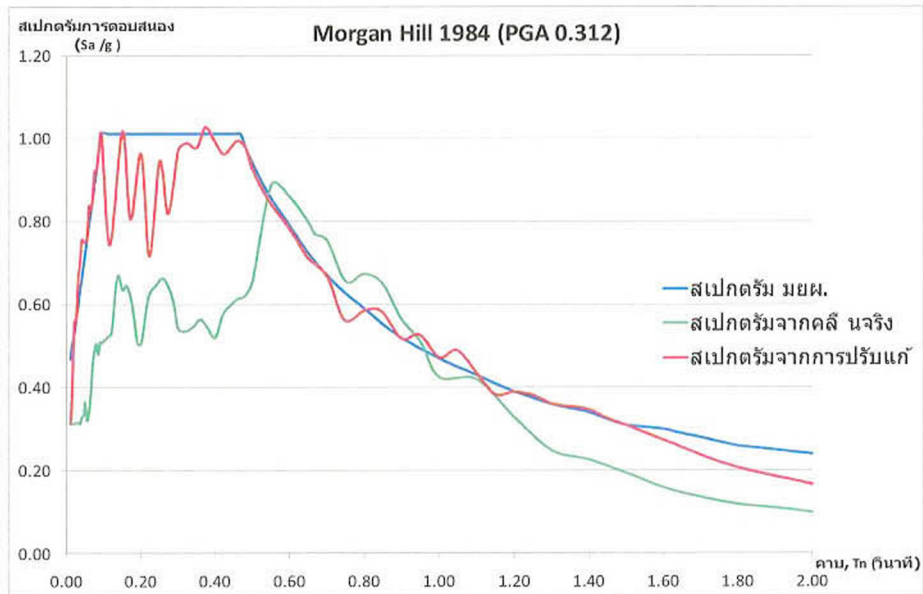
สเปกตรัมการตอบสนอง
(s^2/g)



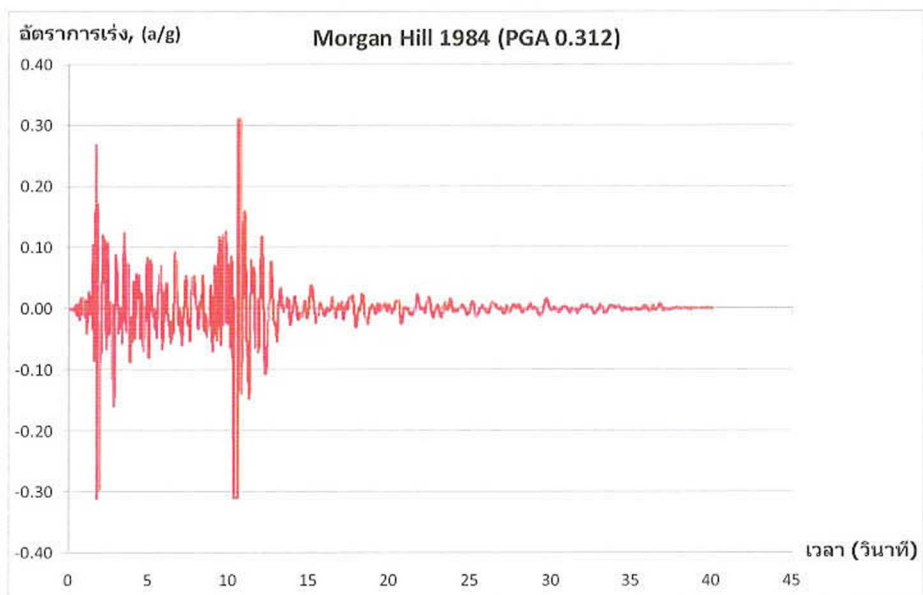
รูป ๓.๑๗ สเปกตรัมผลตอบของเจลีฟพระยาดุดอยสูเพตตามมาตรฐาน M.Y.P. ๑๓๐๒

๙. นำค่าลี่นที่หาได้ในขั้นตอนที่ ๔ ไป matched ระหว่างสเปกตรัมจากมาตรฐานกรมโยธาธิการและผังเมือง (มยพ.) ในขั้นตอนที่ ๕ เพื่อให้ได้ค่าลี่นจริงที่ได้เข้ากับลักษณะภูมิประเทศของประเทศไทยในเขตภาคเหนือตามความเป็นจริงมากที่สุด ที่คาดว่าจะเกิดขึ้นได้ เมื่อ matched แล้วจะได้สเปกตรัมและค่าลี่นแผ่นดินให้ดังรูป ๓.๑๘ ดัง

๓.๑๑๐

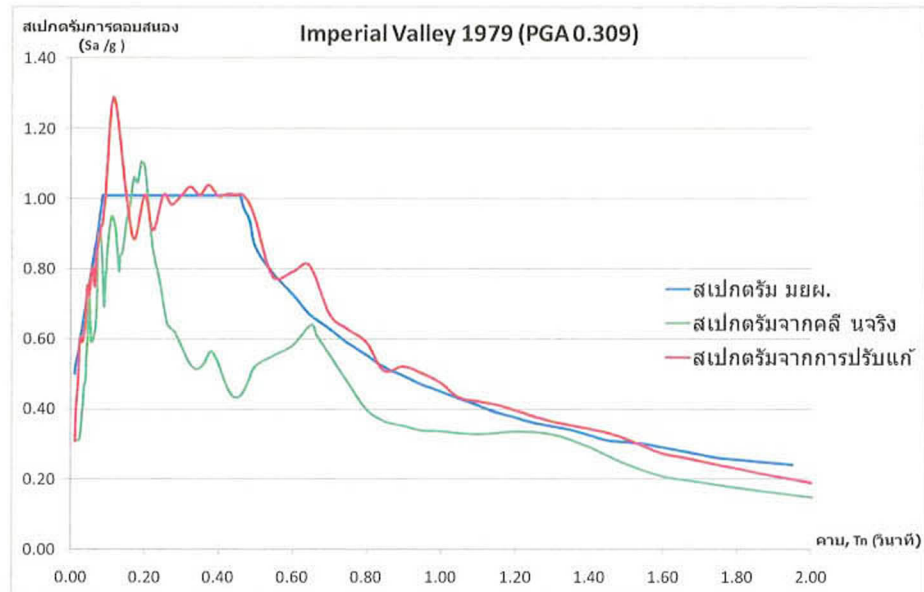


(ก) สเปกตรัมจากการบริบแก้คลื่นแผ่นดินไหว Morgan Hill 1984

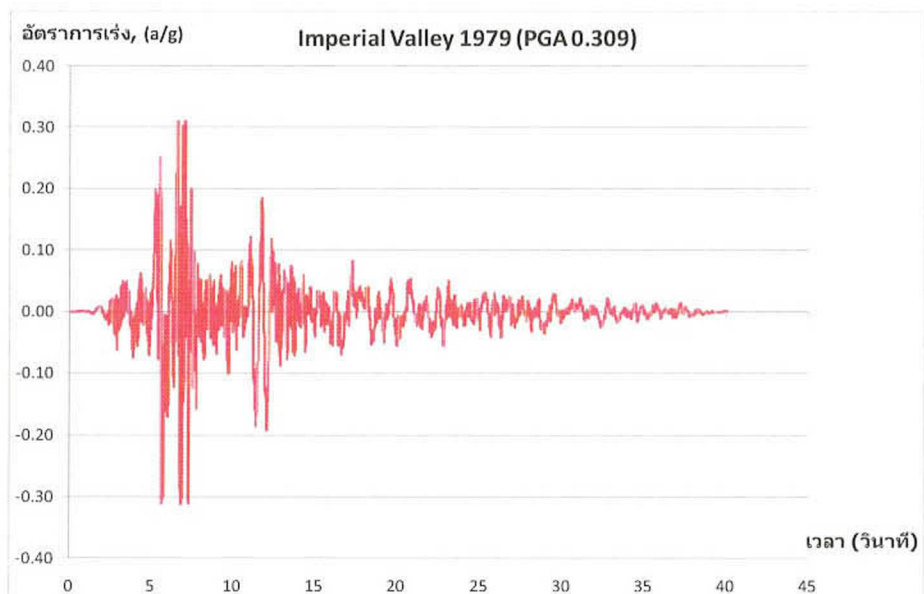


(ข) คลื่นแผ่นดินไหว Morgan Hill จากการบริบแก้

รูป ๓.๑๙ คลื่นเหตุการณ์แผ่นดินไหว Morgan Hill 1984 ที่ปรับเข้ากับพื้นที่วิเคราะห์

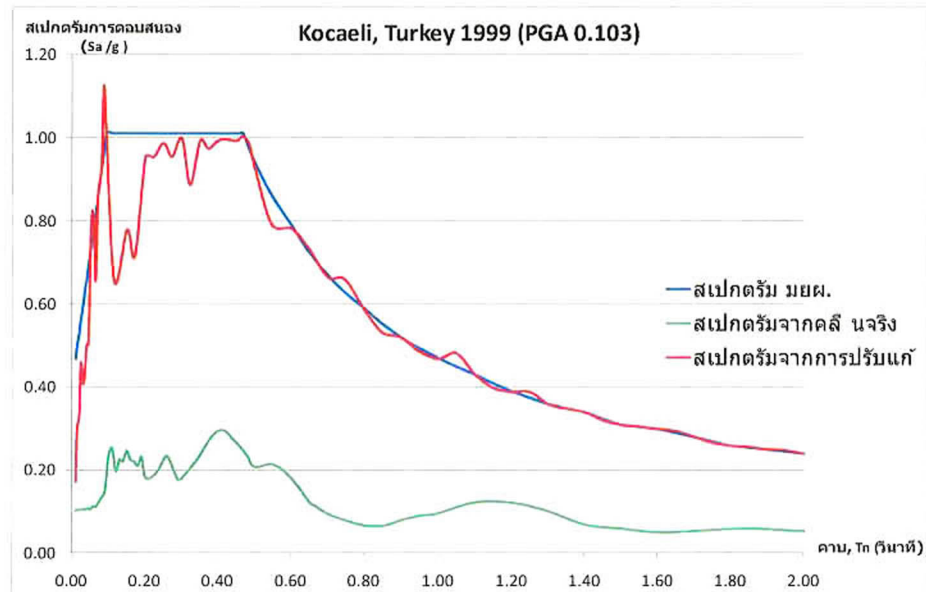


(ก) สเปกต์รัมจากการปรับแก้คลีนแผ่นดินไหว Imperial Valley 1979

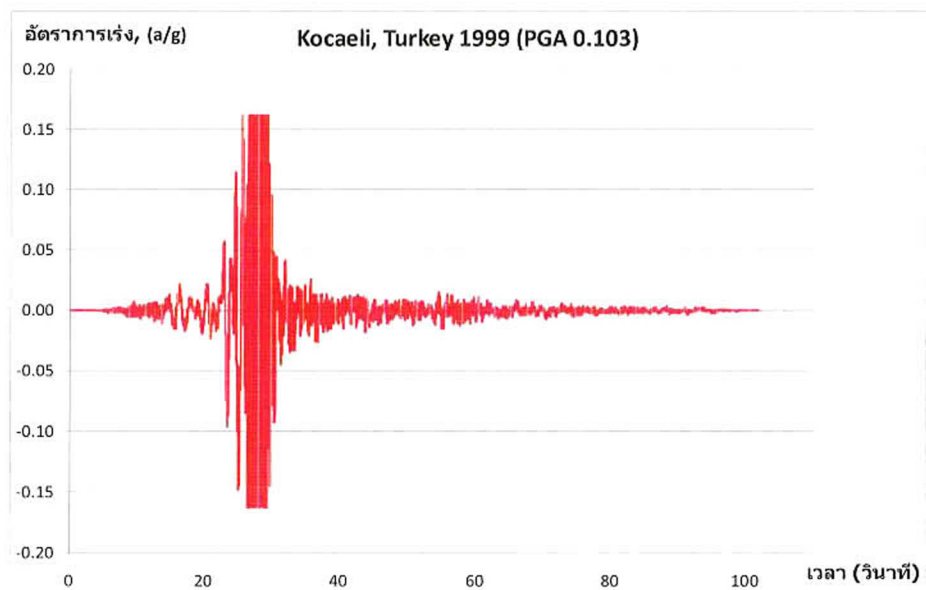


(ข) คลีน Imperial Valley จากการปรับแก้

รูป ๓.๑๙ คลีนเหตุการณ์แผ่นดินไหว Imperial Valley 1979 ที่ปรับเข้ากับพื้นที่วิเคราะห์



(ก) สเปกตรัมจากการปรับแก้คลื่นแผ่นดินไหว Kocaeli, Turkey 1999 (PGA 0.103)



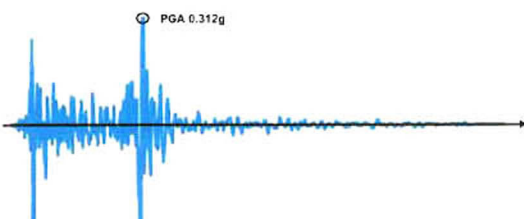
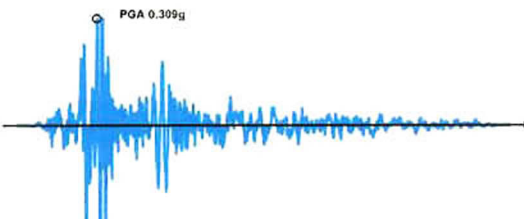
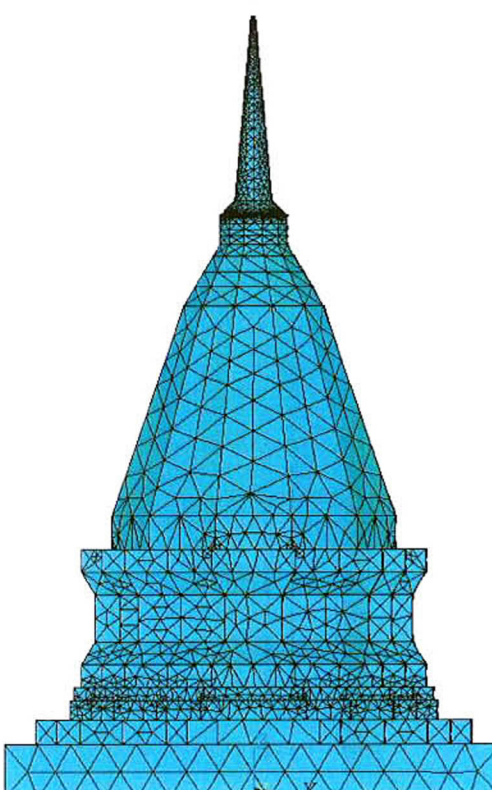
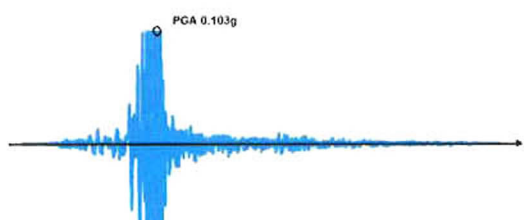
(ข) คลื่น Kocaeli, Turkey จากการปรับแก้

รูป ๓.๒๐ คลื่นเหตุการณ์แผ่นดินไหว Kocaeli, Turkey 1999 ที่ปรับเข้ากับพื้นที่วิเคราะห์

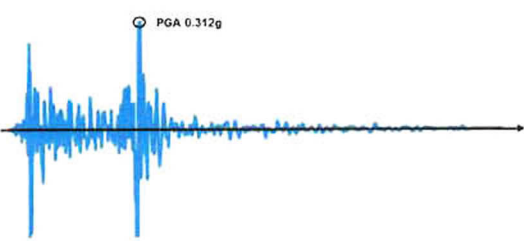
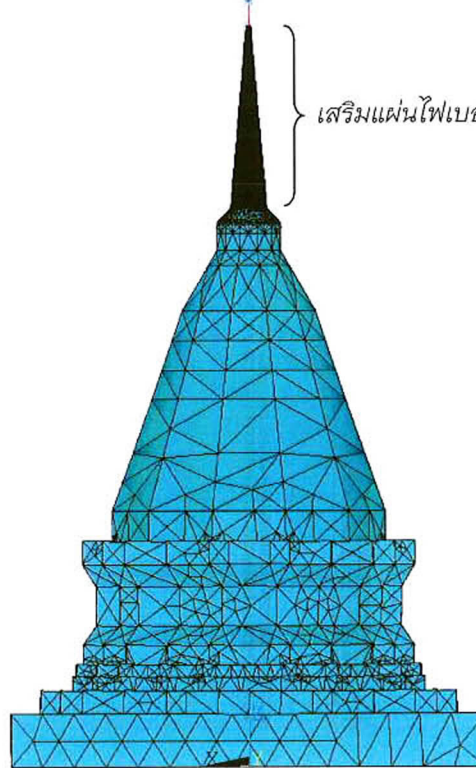
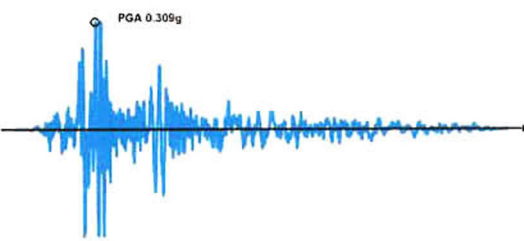
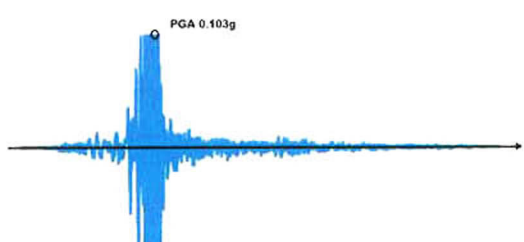
๓.๒.๒ วิเคราะห์พฤติกรรมในการรับแรงแผ่นดินไหว

การวิเคราะห์พฤติกรรมในการรับแรงแผ่นดินไหว จะใช้วิธี Time History Analysis เนื่องจากวิธีนี้จะมาอิงกับการวิเคราะห์พฤติกรรมของโครงสร้างที่ใกล้เคียงกับความเป็นจริงตามข้อมูลความเร่งของพื้นดิน กำหนดให้แรงแผ่นดินไหวกระทำในทิศทางเดียวที่ฐานของเจดีย์ คือ แนวราบทางแกน X คลื่นแผ่นดินไหวที่เลือกใช้จะใช้คลื่นที่หามาจากหัวข้อ ๓.๑.๑ โดยประกอบด้วยคลื่นแผ่นดินไหวที่ปรับแก้จาก Morgan Hill 1984, Imperial Valley และ Kocaelic, Turkey 1999 ตามลำดับ และนำมารวบรวมเป็นคลื่นที่ได้ไปทำการวิเคราะห์กับแบบจำลองที่ได้จากการหัวข้อ ๓.๑ โดยตัวอย่างรูปแบบที่จะทำการวิเคราะห์แสดงดังตาราง ๓.๗

ตาราง ๓.๗/ แบบจำลองในการวิเคราะห์การรับแรงแผ่นดินไหวของเจดีย์

คลื่นแผ่นดินไหว	แบบจำลอง
<p>แผ่นดินไหวเกิดในระยะใกล้</p> <p>Morgan Hill</p> 	
<p>รอยเลื่อนแม่ท่า</p> <p>Imperial Valley</p> 	
<p>รอยเลื่อนแม่จัน</p> <p>Kocaeli, Turkey</p> 	

ตาราง ๓.๗ (ต่อ) แบบจำลองในการวิเคราะห์การรับแรงแผ่นดินไหวของเจดีย์

คลื่นแผ่นดินไหว	แบบจำลอง
<p>แผ่นดินไหวเกิดในระยะใกล้</p> <p>Morgan Hill</p> 	 <p>แบบจำลอง</p>  <p>เสริมแผ่นไฟเบอร์</p>
<p>รอยเลื่อนแม่ท่า</p> <p>Imperial Valley</p> 	
<p>รอยเลื่อนแม่จัน</p> <p>Kocaeli, Turkey</p> 	<p>เสริมกำลังโดยแผ่นไฟเบอร์</p>